

## Seminar - Moderne Optik (2009)

# Moderne optische Tests der Relativitätstheorie

---

Alexander Stark

Institut für Physik  
Humboldt-Universität zu Berlin



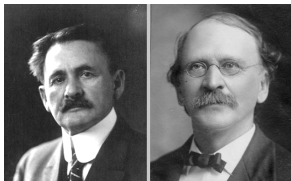
---

24.06.2009

# Inhaltsverzeichnis

- 1 **Einleitung**
- 2 **Theoretische Grundlagen**
- 3 **Experimentelle Realisierung**
- 4 **Analyse der Messwerte**
- 5 **Literatur**

# Historische Highlights



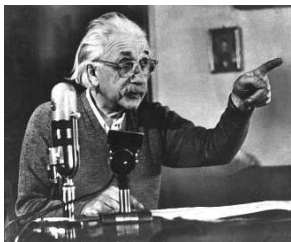
A. A. Michelson und E. W.  
Morley

**1881:** klassisches Michelson-Morley  
Experiment



Nachbau des Experiments von  
1881

# Historische Highlights



A. Einstein bei einer Rede

**1881:** klassisches Michelson-Morley Experiment

**1905**  
**1916:** Relativitätstheorie von Einstein

$$c = 299792458 \frac{\text{m}}{\text{s}}$$

$$R_{\mu\nu} - \frac{1}{2} g_{\mu\nu} R = \frac{8\pi G}{c^4} T_{\mu\nu}$$

# Historische Highlights



G. Rebka am Detektor

**1881:** klassisches Michelson-Morley Experiment

**1905**  
**1916:** Relativitätstheorie von Einstein

**1960:** R. Pound & G. Rebka:  
Rotverschiebung von Photonen  
durch Gravitation

# Historische Highlights

**1881:** klassisches Michelson-Morley Experiment



optischer Resonator aus Fused Silica

**1905**  
**1916:** Relativitätstheorie von Einstein

**1960:** R. Pound & G. Rebka:  
Rotverschiebung von Photonen  
durch Gravitation

**1979:** J. L. Hall: moderne  
Michelson-Morley Experimente

# Historische Highlights



optischer Resonator aus Fused Silica

**1881:** klassisches Michelson-Morley Experiment

**1905**  
**1916:** Relativitätstheorie von Einstein

**1960:** R. Pound & G. Rebka:  
Rotverschiebung von Photonen  
durch Gravitation

**1979:** J. L. Hall: moderne  
Michelson-Morley Experimente

**Gegenwart:**

Hochpräzise Experimente mit optischen  
Resonatoren und Laser

$$\frac{\Delta c}{c} < 10^{-17}$$

# Die spezielle Relativitätstheorie

## Einsteins Relativitätsprinzip

- **1. Postulat:** Die Naturgesetze sind in allen Inertialsystemen gleich.
  - Homogenität und Isotropie der Raumzeit
  - Lorentzinvarianz

# Die spezielle Relativitätstheorie

## Einsteins Relativitätsprinzip

- **1. Postulat:** Die Naturgesetze sind in allen Inertialsystemen gleich.
  - Homogenität und Isotropie der Raumzeit
  - Lorentzinvarianz
- **2. Postulat:** Licht breitet sich in Vakuum in jeder Richtung geradlinig und mit Geschwindigkeit  $c$  aus, unabhängig von der Geschwindigkeit der Quelle oder des Beobachters.

# Die spezielle Relativitätstheorie

## Einsteins Relativitätsprinzip

- **1. Postulat:** Die Naturgesetze sind in allen Inertialsystemen gleich.
  - Homogenität und Isotropie der Raumzeit
  - Lorentzinvarianz
- **2. Postulat:** Licht breitet sich in Vakuum in jeder Richtung geradlinig und mit Geschwindigkeit  $c$  aus, unabhängig von der Geschwindigkeit der Quelle oder des Beobachters.

## Effekte der SRT

$$L_v = L_0 \sqrt{1 - v^2/c^2} \rightarrow \text{Längenkontraktion}$$

$$T_v = T_0 \sqrt{1 - v^2/c^2} \rightarrow \text{Zeitdilatation}$$

# Standardmodell-Erweiterung (SME)

- Verletzung der Lorentzinvarianz  
→ Hinweis auf Physik jenseits des Standardmodells der Elementarteilchen

# Standardmodell-Erweiterung (SME)

- Verletzung der Lorentzinvarianz  
→ Hinweis auf Physik jenseits des Standardmodells der Elementarteilchen
- Optische Präzessionsmessungen können niederenergetische Effekte von Theorien zur Quantengravitation offenbaren

# Standardmodell-Erweiterung (SME)

- Verletzung der Lorentzinvarianz  
→ Hinweis auf Physik jenseits des Standardmodells der Elementarteilchen
- Optische Präzessionsmessungen können niederenergetische Effekte von Theorien zur Quantengravitation offenbaren

## Photonsektor der SME

$$\mathcal{L} = -\frac{1}{4} \mathbf{F}_{\mu\nu} \mathbf{F}^{\mu\nu}$$

Kostelecký, V. Alan and Mewes, Matthew, *Phys. Rev. D*, **66**, 056005, (2002)

# Standardmodell-Erweiterung (SME)

- Verletzung der Lorentzinvarianz  
→ Hinweis auf Physik jenseits des Standardmodells der Elementarteilchen
- Optische Präzessionsmessungen können niederenergetische Effekte von Theorien zur Quantengravitation offenbaren

## Photonsektor der SME

$$\mathcal{L} = -\frac{1}{4}F_{\mu\nu}F^{\mu\nu} + \frac{1}{2}(k_{AF})^{\kappa} \epsilon_{\kappa\lambda\mu\nu}A^{\lambda}F^{\mu\nu} - \frac{1}{4}(k_F)_{\kappa\lambda\mu\nu}F^{\kappa\lambda}F_{\mu\nu}$$

Kostelecký, V. Alan and Mewes, Matthew, *Phys. Rev. D*, **66**, 056005, (2002)

# Standardmodell-Erweiterung (SME)

- Verletzung der Lorentzinvarianz  
→ Hinweis auf Physik jenseits des Standardmodells der Elementarteilchen
- Optische Präzessionsmessungen können niederenergetische Effekte von Theorien zur Quantengravitation offenbaren

## Photonensektor der SME

$$\mathcal{L} = -\frac{1}{4}F_{\mu\nu}F^{\mu\nu} + \frac{1}{2}\underbrace{(k_{AF})^\kappa}_{\approx 0}\epsilon_{\kappa\lambda\mu\nu}A^\lambda F^{\mu\nu} - \frac{1}{4}(k_F)_{\kappa\lambda\mu\nu}F^{\kappa\lambda}F_{\mu\nu}$$

Kostelecký, V. Alan and Mewes, Matthew, *Phys. Rev. D*, **66**, 056005, (2002)

# Standardmodell-Erweiterung (SME)

## Photonsektor der SME

$$\mathcal{L} = -\frac{1}{4}F_{\mu\nu}F^{\mu\nu} - \frac{1}{4}(k_F)_{\kappa\lambda\mu\nu}F^{\kappa\lambda}F_{\mu\nu}$$

Kostelecký, V. Alan and Mewes, Matthew, *Phys. Rev. D*, **66**, 056005, (2002)

# Standardmodell-Erweiterung (SME)

## Photonsektor der SME

$$\mathcal{L} = -\frac{1}{4}F_{\mu\nu}F^{\mu\nu} - \frac{1}{4}(\mathbf{k}_F)_{\kappa\lambda\mu\nu}F^{\kappa\lambda}F_{\mu\nu}$$

Kostelecký, V. Alan and Mewes, Matthew, *Phys. Rev. D*, **66**, 056005, (2002)

- $(\mathbf{k}_F)_{\kappa\lambda\mu\nu}$  enthält 19 freie Parameter
- 10 Parameter beschreiben polarisationsabhängige Effekte
  - ✓ Durch astronomische Messungen auf unter  $10^{-32}$  bestimmt

# Standardmodell-Erweiterung (SME)

## Photonsektor der SME

$$\mathcal{L} = -\frac{1}{4}F_{\mu\nu}F^{\mu\nu} - \frac{1}{4}(\mathbf{k}_F)_{\kappa\lambda\mu\nu}F^{\kappa\lambda}F_{\mu\nu}$$

Kostelecký, V. Alan and Mewes, Matthew, *Phys. Rev. D*, **66**, 056005, (2002)

- $(\mathbf{k}_F)_{\kappa\lambda\mu\nu}$  enthält 19 freie Parameter
- 10 Parameter beschreiben polarisationsabhängige Effekte
    - ✓ Durch astronomische Messungen auf unter  $10^{-32}$  bestimmt
  - 9 restliche Parameter durch moderne Michelson-Morley Experimente messbar

# Standardmodell-Erweiterung (SME)

## Photonsektor der SME

$$\mathcal{L} = -\frac{1}{4}F_{\mu\nu}F^{\mu\nu} - \frac{1}{4}(\mathbf{k}_F)_{\kappa\lambda\mu\nu}F^{\kappa\lambda}F_{\mu\nu}$$

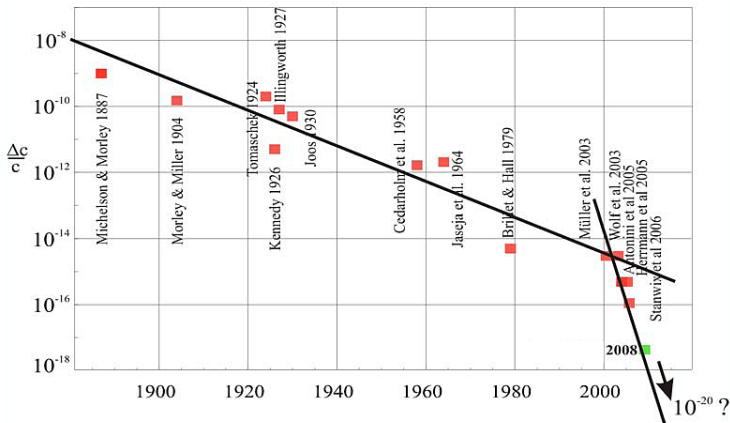
Kostelecký, V. Alan and Mewes, Matthew, *Phys. Rev. D*, **66**, 056005, (2002)

→  $(\mathbf{k}_F)_{\kappa\lambda\mu\nu}$  enthält 19 freie Parameter

- 10 Parameter beschreiben polarisationsabhängige Effekte
  - ✓ Durch astronomische Messungen auf unter  $10^{-32}$  bestimmt
- 9 restliche Parameter durch moderne Michelson-Morley Experimente messbar

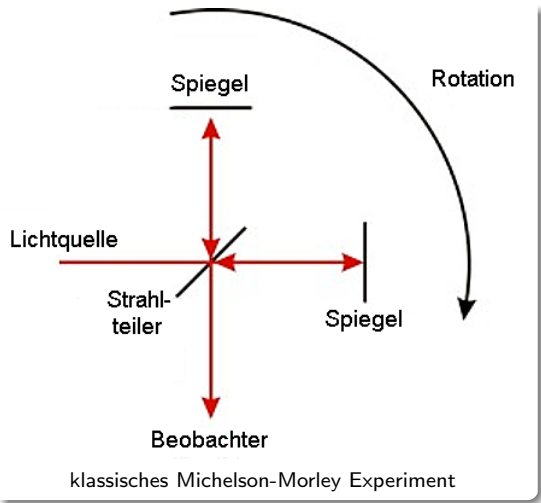
SME transformiert das Vakuum in ein quasi anisotropes Medium.

# Entwicklung der Experimente

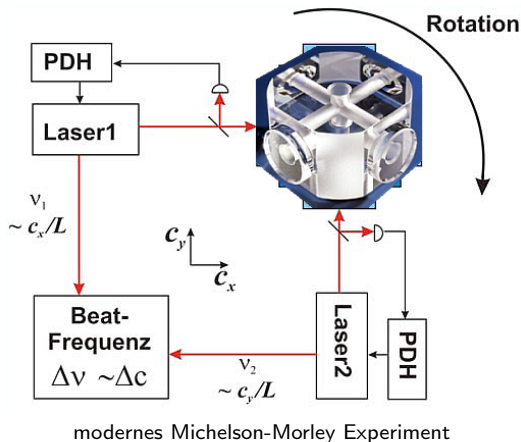


Obere Schranken für die Anisotropie der Lichtgeschwindigkeit  
 Moritz Nagel, *Diplomarbeit*, HU-Berlin, (2009)

# Aufbau des Experiments



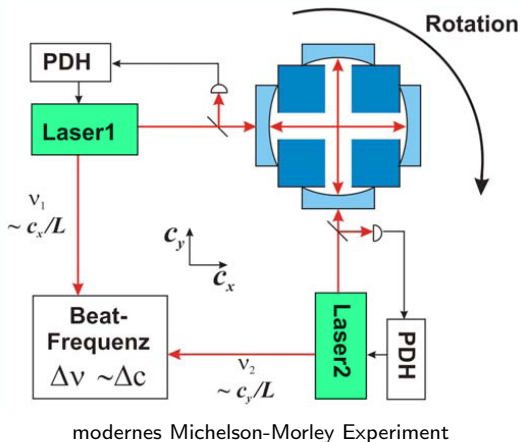
# Aufbau des Experiments



## optischer Resonator:

- Spiegelabstand  $L = 5.5\text{cm}$
- Finesse  $\mathcal{F} = 410000$   
( $R=99.9992\%$ )
- Linienbreite:  
 $FWHM = 6.5\text{kHz}$
- Fused Silica
- Temperaturstabilität:  
 $\alpha = 6 \times 10^{-7}/\text{K}$   
( $\Delta\nu/\nu_0 = -\alpha T$ )

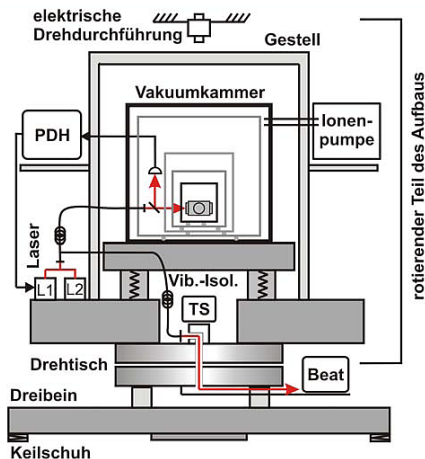
# Aufbau des Experiments



## Laser:

- Nd:YAG ( $\lambda = 1064\text{nm}$ )
- Ausgangsleistung:
  - ✱ Laser1: 200mW
  - ✱ Laser2: 500mW
- Regelung:
  - *schnell*: Piezo (MHz/V)
  - *langsam*: Temperatur (GHz/K)

# Aufbau des Experiments



modernes Michelson-Morley Experiment,  
(A. Peters, HU-Berlin)

## Randbedingungen:

- thermische Isolierung (aber keine Kühlung!) durch Thermoschilde
- Vakuum  $10^{-6}$  mbar (bis  $10^{-10}$  mbar möglich)
- aktive Vibrationsdämpfung
- Präzisionsdrehtisch (aktive Kontrolle der Verkippung der Rotationsachse  $< 1 \mu\text{rad}$ )

# Frequenzstabilisierung

- Frequenzstabilisierung eines Lasers auf einen optischen Resonator
  - Laserfrequenz  $\nu_L$  wird aktiv durch Rückkopplung auf einer Resonatorfrequenz  $\nu_R$  gehalten

# Frequenzstabilisierung

- Frequenzstabilisierung eines Lasers auf einen optischen Resonator
  - Laserfrequenz  $\nu_L$  wird aktiv durch Rückkopplung auf einer Resonatorfrequenz  $\nu_R$  gehalten
  - Fehlersignal  $\nu_L - \nu_R$  nach dem Pound-Drever-Hall-Verfahren (PDH)
  - Resonanzfrequenzen eines Resonators  $\nu_R^n = nc/2L$

# Frequenzstabilisierung

- Frequenzstabilisierung eines Lasers auf einen optischen Resonator
  - Laserfrequenz  $\nu_L$  wird aktiv durch Rückkopplung auf einer Resonatorfrequenz  $\nu_R$  gehalten
  - Fehlersignal  $\nu_L - \nu_R$  nach dem Pound-Drever-Hall-Verfahren (PDH)
  - Resonanzfrequenzen eines Resonators  $\nu_R^n = nc/2L$

Bei konstanter Resonatorlänge  $L$  gibt die stabilisierte Laserfrequenz  $\nu_L$  die mögliche Änderung der Lichtgeschwindigkeit wieder

$$\Delta\nu_R = \Delta c/2L$$

# Messung der Anisotropie

- Beat-Frequenz  $\nu_B = |\nu_{L1} - \nu_{L2}|$   
→  $\nu_L = 2.82 \times 10^{14}$  Hz direkte Messung unpraktikabel

# Messung der Anisotropie

- Beat-Frequenz  $\nu_B = |\nu_{L1} - \nu_{L2}|$ 
  - $\nu_L = 2.82 \times 10^{14}$  Hz direkte Messung unpraktikabel
  - Überlagerung der Laserfrequenzen  $\rightsquigarrow$  Schwebungssignal (Beat)

# Messung der Anisotropie

- Beat-Frequenz  $\nu_B = |\nu_{L1} - \nu_{L2}|$ 
  - $\nu_L = 2.82 \times 10^{14}$  Hz direkte Messung unpraktikabel
  - Überlagerung der Laserfrequenzen  $\rightsquigarrow$  Schwebungssignal (Beat)
  - Messung des Beatsignals mit einer schnellen Photodiode

# Messung der Anisotropie

- Beat-Frequenz  $\nu_B = |\nu_{L1} - \nu_{L2}|$ 
  - $\nu_L = 2.82 \times 10^{14}$  Hz direkte Messung unpraktikabel
  - Überlagerung der Laserfrequenzen  $\rightsquigarrow$  Schwebungssignal (Beat)
  - Messung des Beatsignals mit einer schnellen Photodiode

Sensitiv auf relative Schwankungen  $\Delta\nu/\nu = 3.5 \times 10^{-17}$

# Analyse der Messwerte

## Ziel:

Bestimmung der freien Parameter des  $(\mathbf{k}_F)_{\kappa\lambda\mu\nu}$  Tensors

# Analyse der Messwerte

## Ziel:

Bestimmung der freien Parameter des  $(\mathbf{k}_F)_{\kappa\lambda\mu\nu}$  Tensors  
→ Umformulierung durch modifizierte Maxwell-Gleichungen auf  
Amplituden des Beatsignals

# Analyse der Messwerte

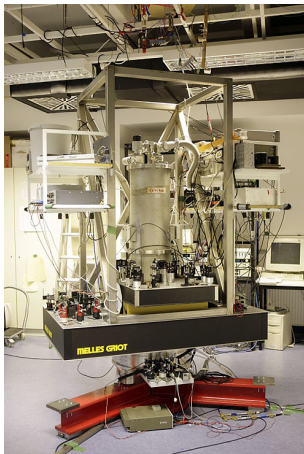
## Ziel:

Bestimmung der freien Parameter des  $(\mathbf{k}_F)_{\kappa\lambda\mu\nu}$  Tensors  
→ Umformulierung durch modifizierte Maxwell-Gleichungen auf  
Amplituden des Beatsignals

- Drehung des Experiments mit Frequenz  $\omega$   
↪ Modulation des Beatsignals

$$\frac{\Delta\nu}{\nu} = 2B \sin(2\omega t) + 2C \cos(2\omega t)$$

# Analyse der Messwerte



*links:* Modernes Michelson-Morley Experiment bei der  
AG Optische Metrologie (Prof. A. Peters), HU-Berlin  
*rechts:* Langzeitbelichtung der Drehung des Experiments

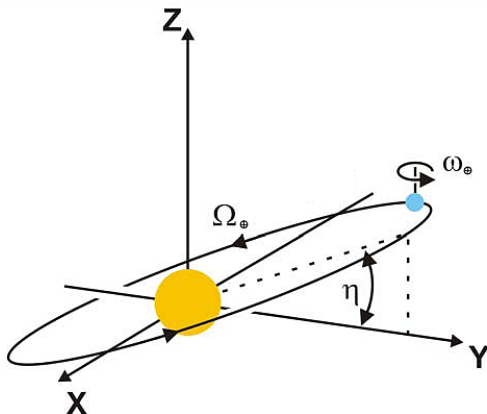
# Analyse der Messwerte

## Ziel:

Bestimmung der freien Parameter des  $(\mathbf{k}_F)_{\kappa\lambda\mu\nu}$  Tensors  
→ Umformulierung durch modifizierte Maxwell-Gleichungen auf Amplituden des Beatsignals

- weitere Modulation des Beats durch Erdrotation und Drehung der Erde um die Sonne  
↔ Amplituden zeitabhängig:  $B = B(t)$ ,  $C = C(t)$

# Analyse der Messwerte



Sonnenzentriertes Inertialsystem mit Erdrotation  $\omega_{\oplus}$  und siderischem Umlauf  $\Omega_{\oplus}$   
Moritz Nagel, *Diplomarbeit*, HU-Berlin, (2009)

# Analyse der Messwerte

- weitere Modulation des Beats durch Erdrotation und Drehung der Erde um die Sonne  
↪ Amplituden zeitabhängig:  $B = B(t)$ ,  $C = C(t)$

# Analyse der Messwerte

- weitere Modulation des Beats durch Erdrotation und Drehung der Erde um die Sonne  
↪ Amplituden zeitabhängig:  $B = B(t)$ ,  $C = C(t)$

$$B(t) = B_0 + B_{s1} \sin(\omega_{\oplus}(t - t_0)) + B_{c1} \cos(\omega_{\oplus}(t - t_0)) \\ + B_{s2} \sin(2\omega_{\oplus}(t - t_0)) + B_{c2} \cos(2\omega_{\oplus}(t - t_0))$$

# Analyse der Messwerte

- weitere Modulation des Beats durch Erdrotation und Drehung der Erde um die Sonne  
↪ Amplituden zeitabhängig:  $B = B(t)$ ,  $C = C(t)$

$$B(t) = B_0 + B_{s1} \sin(\omega_{\oplus}(t - t_0)) + B_{c1} \cos(\omega_{\oplus}(t - t_0)) \\ + B_{s2} \sin(2\omega_{\oplus}(t - t_0)) + B_{c2} \cos(2\omega_{\oplus}(t - t_0))$$

$$B(t)_{s1} = Y_{0s1} + Y_{ss1} \sin(\Omega_{\oplus}(t - t'_0)) + Y_{cs1} \cos(\Omega_{\oplus}(t - t'_0))$$

# Analyse der Messwerte

- weitere Modulation des Beats durch Erdrotation und Drehung der Erde um die Sonne

↪ Amplituden zeitabhängig:  $B = B(t)$ ,  $C = C(t)$

$$B(t) = B_0 + B_{s1} \sin(\omega_{\oplus}(t - t_0)) + B_{c1} \cos(\omega_{\oplus}(t - t_0)) \\ + B_{s2} \sin(2\omega_{\oplus}(t - t_0)) + B_{c2} \cos(2\omega_{\oplus}(t - t_0))$$

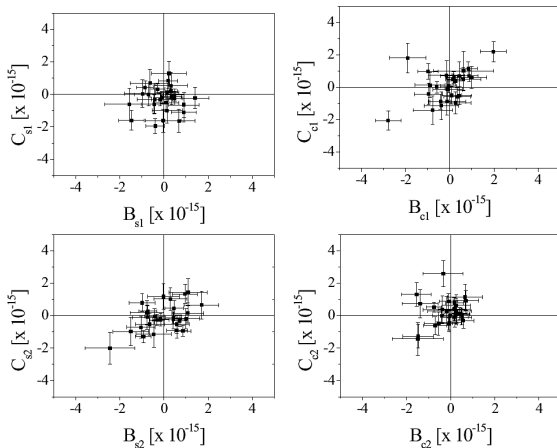
$$B(t)_{s1} = Y_{0s1} + Y_{ss1} \sin(\Omega_{\oplus}(t - t'_0)) + Y_{cs1} \cos(\Omega_{\oplus}(t - t'_0))$$

$$Y_{0s1} = 0, \quad Y_{0s1} = \frac{\sin \chi}{2} k_{e-}^{XY} \text{ usw.}$$

## Ergebnis:

Bestimmungsgleichungen für die freien Parameter  
→ Fitprozedur über entsprechende Zeiträume

# Ergebnisse



Ergebnisse zu einigen Fitparametern  
Sven Herrmann, *PhD-Thesis*, HU-Berlin, (2008)

# Zusammenfassung

# Zusammenfassung

- *optische Experimente höchster Präzision können Hinweise auf eine Physik jenseits des Standardmodells offenbaren*
  - *mögliche Anisotropie der Lichtgeschwindigkeit verursacht durch ein quasi anisotropes Vakuum*
- ⇒ optische Metrologie bietet eine Möglichkeit diese zu untersuchen

# Zusammenfassung

- *optische Experimente höchster Präzision können Hinweise auf eine Physik jenseits des Standardmodells offenbaren*
- *mögliche Anisotropie der Lichtgeschwindigkeit verursacht durch ein quasi anisotropes Vakuum*

⇒ optische Metrologie bietet eine Möglichkeit diese zu untersuchen

- *moderne Version des Michelson-Morley Experiments durchgeführt an der HU Berlin*
- *hochwertige optische Resonatoren und Laser hoher Frequenzstabilität*

⇒ erreichte Genauigkeit von  $\frac{\Delta c}{c} < 10^{-17}$

# Zusammenfassung

- *optische Experimente höchster Präzision können Hinweise auf eine Physik jenseits des Standardmodells offenbaren*
- *mögliche Anisotropie der Lichtgeschwindigkeit verursacht durch ein quasi anisotropes Vakuum*

⇒ optische Metrologie bietet eine Möglichkeit diese zu untersuchen

- *moderne Version des Michelson-Morley Experiments durchgeführt an der HU Berlin*
- *hochwertige optische Resonatoren und Laser hoher Frequenzstabilität*

⇒ erreichte Genauigkeit von  $\frac{\Delta c}{c} < 10^{-17}$

**Bisherige Messungen ergeben ein Nullresultat.**

# Literaturangaben

-  Müller, H. und Peters, A., Phys. Unserer Zeit, 2004, 35(2), 70
-  Brillet, A. und Hall, J. L., Phys. Rev. Lett., 42, 549, (1979)
-  Kostelecký, V. Alan and Mewes, Matthew, Phys. Rev. D, 66, 056005, (2002)
-  Kostelecký, V. Alan, Personal Webpage,  
<http://www.physics.indiana.edu/~kostelec/>
-  Nagel, M. , Diplomarbeit, HU-Berlin, (2009)
-  Herrmann, S., PhD-Thesis, HU-Berlin, (2008)
-  Müller, H. et al., Phys. Rev. Lett., 99, 050401, (2007)
-  Günther, H., Spezielle Relativitätstheorie, Teubner Verlag, Wiesbaden, (2007)
-  Bouveret, S., Progressbar  $\LaTeX$  Beamer theme, v. 0.32,  
<http://www.cert.fr/dcsd/THESES/sbouveret/francais/LaTeX.html>

**Ich bedanke mich für Eure Aufmerksamkeit.**

# Lagrange-Formalismus

Lagrange-Funktion:

$$\delta S = 0 \rightarrow S = \int dt L \rightarrow L = \int d^3r \mathcal{L}$$

z.B.  $\mathcal{L} = -\frac{1}{4}F_{\mu\nu}F^{\mu\nu}$  mit  $F_{\mu\nu} = \partial_\mu A_\nu - \partial_\nu A_\mu$   
und  $A_\mu = (\phi, \vec{A}) \rightarrow \text{rot}\vec{A} = \vec{B}$

Euler-Lagrange-Gleichung:

$$\frac{\partial \mathcal{L}}{\partial A_\nu} - \partial_\mu \frac{\partial \mathcal{L}}{\partial (\partial_\mu A_\nu)} = 0$$

Maxwell-Gleichungen im Vakuum:

$$\partial_\mu F^{\mu\nu} = 0 \Leftrightarrow \text{rot}\vec{E} = -\frac{1}{c} \frac{\partial \vec{B}}{\partial t} \text{ usw.}$$

# Das Pound-Drever-Hall-Verfahren (PDH)

